



Creative Commons Attribution 4.0 International License (CC BY 4.0)

جغرافیا و مخاطرات محیطی، شماره سی و پنجم، پاییز ۱۳۹۹

صص ۷۹-۹۷

DOI: <https://dx.doi.org/10.22067/geoeh.2020.67015.0>

مقاله پژوهشی

پنهانه‌بندی آسیب‌پذیری لرزه‌ای با استفاده از مدل WASPAS و سیستم اطلاعات جغرافیایی

(مطالعه موردی: شهر ارومیه)

سارا بهشتی فر^۱- استادیار گروه نقشه برداری، دانشکده عمران، دانشگاه تبریز، تبریز، ایران

ستار صحراei - دانشجوی کارشناسی ارشد مهندسی ژئودزی دانشگاه تبریز، تبریز، ایران

تاریخ تصویب:

۱۳۹۹/۷/۳۰

تاریخ دریافت:

۱۳۹۹/۵/۲۵

چکیده

زلزله از جمله مخاطراتی است که به دلیل ماهیت غیرمنتظره‌اش، خسارت‌های جانی و مالی فراوانی بر جای می‌گذارد. هر چند برای پیشگیری از وقوع زلزله راهی وجود ندارد ولی می‌توان با راهکارهایی همچون پنهانه‌بندی و شناسایی مناطق آسیب‌پذیر، خسارت‌های ناشی از آن را تا حدی کاهش داد. هدف این پژوهش تهیه نقشه پنهانه‌بندی آسیب‌پذیری شهر ارومیه در برابر زلزله می‌باشد. برای این منظور، معیارهای مؤثر شناسایی و اهمیت نسبی آنها با استفاده از روش تحلیل سلسله مراتبی، مشخص شدند. پنهانه‌بندی با استفاده از روش تلفیقی جمع و ضرب وزنی (WASPAS)، به عنوان یکی از روش‌های جدید تصمیم‌گیری چندمعیاره، در محیط سیستم اطلاعات جغرافیایی انجام گردید. کل شهر ارومیه از نظر آسیب‌پذیری در برابر زلزله به پنج کلاس کلی آسیب‌پذیری بسیار بالا، آسیب‌پذیری بالا، آسیب‌پذیری متوسط، آسیب‌پذیری پایین و آسیب‌پذیری بسیار پایین تقسیم گردید. مناطق با آسیب‌پذیری بسیار بالا، حدود ۲۱ درصد از کل منطقه را پوشش می‌دهند. مقایسه نتایج به دست آمده از روش WASPAS با روش متداول جمع وزنی (WS) نشان می‌دهد که در روش WASPAS، مناطق بیشتری به عنوان مناطق با آسیب‌پذیری بسیار بالا شناسایی شده‌اند.

کلیدواژه‌ها: زلزله، وزن‌دهی، پنهانه‌بندی، WASPAS، سیستم اطلاعات جغرافیایی.

۱. مقدمه

برخلاف پیشرفت‌های شگرف در تکنولوژی و دست‌یابی به برخی از ناممکن‌های قرون گذشته، هنوز انسان در برابر حوادث غیرمتربقه طبیعی همچون زلزله و سیل درمانده است و گاه و بی‌گاه در معرض تلفات و خسارت‌های جانی و مالی بسیاری قرار می‌گیرد. کشور ایران نیز به دلیل موقعیت جغرافیایی و قرار گرفتن بر روی کمربند جهانی زلزله، در طول تاریخ همواره شاهد زمین‌لرزه‌های بزرگ و خسارتباری بوده است (طبیعت و مظفری، ۱۳۹۷). نقشه پهنه‌بندی خطر نسبی زمین‌لرزه در ایران حاکی از آن است که بیشتر نقاط شهری و غیر شهری کشور در نواحی با خطر نسبی زیاد قرار گرفته‌اند (مرکز تحقیقات ساختمان و مسکن، ۱۳۷۸). قابل‌پیش‌بینی نبودن زمان و مکان وقوع زلزله از یک سو و ساخت‌وسازهای غیراصولی و بی‌توجهی به میزان خطر در یک منطقه از سوی دیگر، موجب تشدید فجایع می‌گردد. اگرچه نمی‌توان از وقوع زلزله پیشگیری کرد ولی با راهکارهایی همچون پهنه‌بندی و شناسایی مناطق آسیب‌پذیر، می‌توان خسارت‌های ناشی از آن را تا حدی کاهش داد. در روش‌های مذکور، چارچوبی برای بررسی احتمال وقوع خطر زلزله در مکان‌های مختلف با توجه به عوامل مؤثر ارائه می‌گردد. در تعیین میزان آسیب‌پذیری لرزه‌ای، به طور معمول جنبه‌های فیزیکی، زیست محیطی و اقتصادی - اجتماعی مد نظر قرار می‌گیرند (برات^۱ و همکاران، ۲۰۱۰). شناخت محدوده‌های مقاوم و آسیب‌پذیر در سطح شهر، از یک سو می‌تواند نقش مهمی در برنامه‌ریزی برای کاهش خسارات احتمالی داشته باشد و از سوی دیگر می‌تواند به تخصیص بهینه اعتبارات مقاوم‌سازی کمک نماید.

با توجه به وجود عوامل متعدد در پهنه‌بندی آسیب‌پذیری ناشی از زلزله و ماهیت مکانی اکثر عوامل مرتبط، تاکنون در مطالعات متعددی از تلفیق روش‌های تصمیم‌گیری چند معیاره (MCDM)^۲ و سیستم اطلاعات جغرافیایی (GIS)^۳ برای این منظور استفاده شده که در ادامه به برخی از آنها اشاره شده است: ارزیابی آسیب‌پذیری بافت‌های مسکونی در منطقه ۶ تهران با روش تحلیل سلسله مراتبی (AHP)^۴ (طبیعت و مظفری، ۱۳۹۷)، ارزیابی آسیب‌پذیری بافت تاریخی شهرها با استفاده از روش AHP در شهر یزد (فلاح علی‌آبادی و همکاران، ۱۳۹۲)، ارزیابی آسیب‌پذیری و رتبه‌بندی آسیب‌پذیری اجتماعی شهرها در برابر زلزله در خرمدره با روش AHP (احدثزاد و همکاران، ۱۳۹۰)، پهنه‌بندی آسیب‌پذیری زلزله در شهر تهران با منطق فازی (هاشمی و همکاران، ۱۳۹۳)، ارزیابی و پهنه‌بندی آسیب‌پذیری لرزه‌ای بافت فرسوده مرکزی شهر سنندج با ترکیبی از منطق فازی و تحلیل سلسله مراتبی (فلاحی و چاره جو، ۱۳۹۸)، ارزیابی میزان آسیب‌پذیری بافت‌های شهری با روش ANP در شهر سمیرم (علوی و همکاران، ۱۳۹۵)، ارزیابی آسیب‌پذیری ساختمان‌های شهری در برابر شدت‌های مختلف زلزله در منطقه ۹ شهرداری تهران (نظم فر و علوی، ۱۳۹۷)، تحلیل ناپایداری بافت‌های

1 Barbat

2 Multiple-criteria decision-making

3 Geographic Information Systems

4 Analytic Hierarchy Process

شهری و پهنه‌بندی میزان آسیب‌پذیری شهر سنتوج در برابر زلزله (حیبی، جوانمردی، ۱۳۹۲)، ارزیابی آسیب‌پذیری ساختمان‌ها و تلفات انسانی در تبریز (کریم‌زاده^۱ و همکاران، ۲۰۱۴)، ارزیابی آسیب‌پذیری ساختمان‌ها در برابر زلزله در کشور هندوستان (نینگ‌توجام^۲ و ناندا^۳، ۲۰۱۸)، ارزیابی آسیب‌پذیری در برابر زلزله با استفاده از نظریه بازی در شهر تهران (مرادی^۴ و همکاران، ۲۰۱۷)، ارزیابی آسیب‌پذیری در برابر زلزله در شهر تبریز با روشی تلفیقی (علیزاده^۵ و همکاران، ۲۰۱۸) و همچنین تجزیه و تحلیل خطر زلزله در شهر استانبول کشور ترکیه (نیمبیلی^۶ و همکاران، ۲۰۱۸). علاوه بر موارد مذکور، پژوهش‌های دیگری نیز در این خصوص صورت گرفته که در ادامه برخی از آنها بیان شده‌اند. حاتمی‌نژاد و همکاران (۱۳۹۳) به منظور تحلیل میزان آسیب‌پذیری مسکن شهری منطقه ۶ تهران در موقع بروز زلزله، از روش AHP جهت وزن‌دهی به معیارها و از مدل^۷ SAW برای تلفیق لایه‌های مؤثر در آسیب‌پذیری مسکن استفاده کردند. معیارهای سنجش آسیب‌پذیری مسکن در تحقیق مذکور شامل میزان جمعیت، فاصله از فضای سبز، فاصله از کاربری صنعتی، فاصله از جایگاه سوخت، فاصله از پست برق و گاز، فاصله از گسل، دسترسی به جاده‌های ارتباطی، دسترسی به ایستگاه آتش‌نشانی و اندازه قطعه واحد مسکونی بوده‌اند.

قبیری و زلفی (۱۳۹۳) جهت ارزیابی آسیب‌پذیری شهر کاشمر در برابر زلزله، مصالح ساختمانی، کیفیت بنا، قدمت بنا، تعداد طبقات، نما، سازگاری کاربری‌ها، دسترسی، فاصله از گسل، تراکم ساختمانی، جمعیت و موقعیت مراکز امداد و نجات را به عنوان معیارهای تأثیرگذار در نظر گرفتند. در تحقیق مذکور، وزن‌دهی به معیارها با روش AHP و رتبه‌بندی مناطق از نظر آسیب‌پذیری با روش ویکور^۸ انجام شد.

پورموسوی و همکاران (۱۳۹۳)، جهت بررسی میزان آسیب‌پذیری حوزه شهری ایذه در برابر زمین‌لرزه، از مدل‌های^۹ AHP و WLC^{۱۰} در محیط GIS استفاده کردند. معیارهای به کار گرفته شده در این تحقیق، شامل فاصله از خطوط گسل، طول گسل، ویژگی‌های لرزاوی مانند بزرگای زمین‌لرزه، وضعیت ساختاری سازندگانی زمین‌شناسی و عمق آب‌های زیرزمینی می‌باشند.

ابراهیم‌زاده و همکاران (۱۳۹۴) نیز برای ارزیابی آسیب‌پذیری محله‌های شهر پیرانشهر در برابر زلزله، از مدل‌های تصمیم‌گیری چندمعیاره استفاده کردند. داده‌های به کار رفته شامل قدمت اینیه، نوع مصالح، تعداد طبقات، کاربری اراضی و عرض معابر بودند. وزن معیارها با استفاده از مدل AHP بدست آمدند. برای تهیه نقشه آسیب‌پذیری

1 Karimzadeh

2 Ningthoujam

3 Nanda

4 Moradi

5 Alizadeh

6 Nyimbili

7 Simple Additive Weighting

8 VIKOR: Vlse Kriterijumsk Optimizacija Kompromisno Resenje

9 Weighted Linear Combination

محلات، از مدل‌های تاپسیس^۱ و ویکور استفاده شد. نتایج تحقیق نشان داد که ۵۳ درصد از محلات پیرانشهر در برابر زلزله آسیب‌پذیر می‌باشند.

نصیری (۱۳۹۵) به منظور ارزیابی آسیب‌پذیری شهر ارومیه در برابر زلزله نیز فرایند تحلیل سلسله مراتبی را جهت وزن‌دهی به معیارها به کار برداشت. نقشه‌های آسیب‌پذیری به روش‌های همپوشانی شاخص و منطق فازی در محیط GIS تهیه شدند. نتایج بدست آمده حاکی از ارجحیت منطق فازی در تعیین آسیب‌پذیری مناطق می‌باشد.

اردن^۲ و همکاران (۲۰۱۲) از میان روش‌های MCDA، از دو روش AHP و تاپسیس در محیط GIS، برای تهیه نقشه‌های خطر زلزله و انجام تجزیه و تحلیل در یکی از مناطق شهر استانبول کشور ترکیه استفاده کردند. در پژوهش مذکور عواملی همچون توپوگرافی، نوع خاک و مکانیسم گسل بمنظور تعیین میزان آسیب‌پذیری در برابر زمین‌لرزه مورد توجه قرار گرفتند. مقایسه نقشه‌های خطر تهیه شده توسط دو مدل AHP و تاپسیس، همبستگی و سازگاری بالایی را بین آنها نشان داد.

ال-دوگوم^۳ و همکاران (۲۰۱۸) از روش‌های تجزیه و تحلیل الگوهای مکانی در محیط GIS برای بررسی خطر وقوع زلزله در سراسر صفحه عربستان و تأثیر آنها در امارات متحده عربی (امارات) استفاده کردند. سپس نقشه حساسیت لرزه‌ای امارات با توجه به عواملی نظیر شیب، نوع خاک و زمین شناسی و طول خط گسل تهیه شد و منطقه مورد مطالعه از لحاظ حساسیت در برابر زلزله، به پنج کلاس طبقه‌بندی گردید. طبق نتایج بدست آمده شهر فوجیره در منطقه آسیب‌پذیری "بسیار بالا"، شهرهای شارجه و دبی در مناطق با آسیب‌پذیری "بالا تا متوسط" و شهر ابوظبی در منطقه "کم خطر" لرزه‌ای قرار گرفته‌اند.

جنا^۴ و همکاران (۲۰۲۰) نیز برای ارزیابی میزان آسیب‌پذیری ناشی از زلزله در شهر باندآچه^۵ در کشور اندونزی، از روش تصمیم‌گیری چند معیاره و GIS استفاده کردند. در تحقیق مذکور، عوامل مختلف اجتماعی، ساختاری و ژئوتکنیکی مورد بررسی قرار گرفتند. نتایج نشان داد که بخش مرکزی شهر در منطقه آسیب‌پذیری بسیار زیاد قرار گرفته است.

یاریان^۶ و همکاران (۲۰۲۰) از سیستم‌های مختلف پشتیبان تصمیم‌گیری برای بررسی آسیب‌پذیری لرزه‌ای شهر سندج استفاده کردند. عوامل مؤثر بر آسیب‌پذیری لرزه‌ای در سه بعد مختلف اجتماعی، محیطی و کالبدی شناسایی شدند. برای ایجاد مجموعه داده‌های آموزشی، روش‌های مختلفی همچون روش‌های تجزیه و تحلیل چندمعیاره فازی شدند.

۱ TOPSIS: Technique for Order Preference by Similarity to Ideal Solution

۲ Erden

۳ Al-Dogom

۴ Jena

۵ Banda Aceh

۶ Yariyan

مورد استفاده قرار گرفتند. نقشه‌های آسیب‌پذیری لرزه‌ای حاصل از مدل‌های مختلف، با استفاده از مساحت زیر منحنی و نسبت فرکانس عبارت سنجی شدند.

از طرفی در سال‌های اخیر در مطالعات مختلفی جهت انجام تصمیم‌گیری چند معیاره از روش¹ WASPAS استفاده شده که در ادامه به تعدادی از آنها به عنوان نمونه اشاره شده است.

حسینی خواه و ضرابی (۲۰۱۸) برای شناسایی پهنه‌های لرزه‌خیز شهر لیکک واقع در استان کهگیلویه و بویراحمد، از مدل WASPAS استفاده کردند. در مطالعه مذکور، ۱۰ شاخص اصلی در نظر گرفته شده که از جمله آنها می‌توان به فاصله از گسل‌های فعال، شیب و ارتفاع اشاره کرد. از تصاویر ماهواره‌ای و داده‌های تهیه شده توسط سازمان نقشه برداری و سازمان USGS برای تأمین داده‌های مورد نیاز استفاده شده است. نتایج به دست آمده نشان می‌دهد که حدود ۲۰ درصد شهرک‌ها در منطقه نامن قرار گرفته‌اند.

فرجی و آروین (۲۰۱۷) برای بررسی تاب‌آوری منطقه‌ای شهرستان‌های استان خوزستان از تحلیل‌های فضایی و مدل WASPAS استفاده کردند. در پژوهش مذکور، ۲۶ شاخص برای بررسی عوامل اقتصادی، اجتماعی، زیرساختی، خدماتی، بهداشتی-درمانی و محیطی در نظر گرفته شده است. وزن‌دهی شاخص‌ها با روش آنتروپی شanon و رتبه‌بندی شهرستان‌ها با WASPAS صورت گرفته است. یافته‌های تحقیق نشان داده که شهرستان‌های اهواز، دزفول و خرم‌شهر در رتبه‌های اول تا سوم قرار گرفته‌اند.

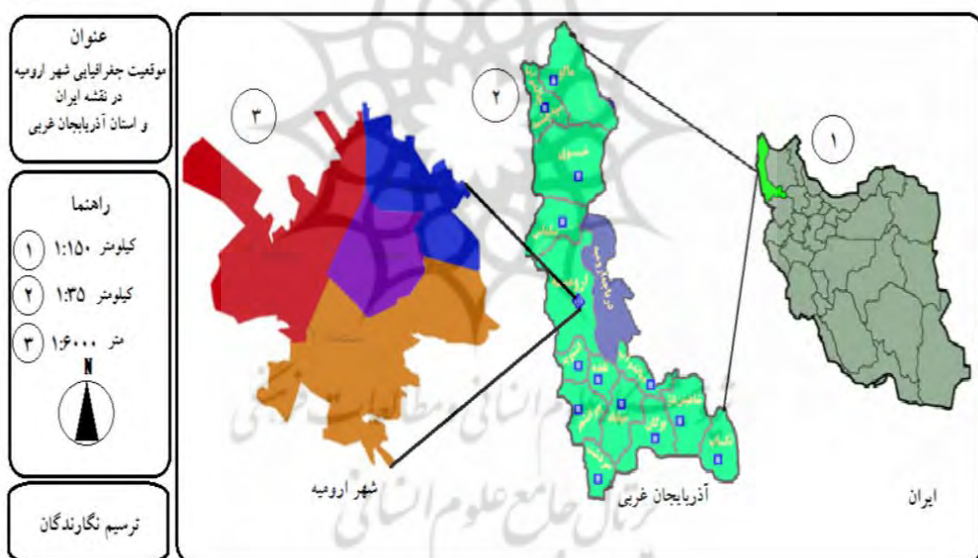
شهر ارومیه نیز به دلایل مختلف از خطر وقوع زلزله در امان نیست، لیکن مطالعات اندکی در خصوص بررسی میزان آسیب‌پذیری مناطق مختلف این شهر در مقابل زلزله با استفاده از روش‌های مبتنی بر MCDM در محیط GIS صورت گرفته است. لذا در پژوهش حاضر با استفاده از روش WASPAS، که یکی از روش‌های جدید تصمیم‌گیری چندمعیاره محسوب می‌شود، به رتبه‌بندی مناطق مختلف شهری از نظر میزان آسیب‌پذیری در برابر زلزله و همچنین تهیه نقشه پهنه‌بندی در محیط GIS پرداخته شده است.

به این ترتیب اهداف این پژوهش عبارتند از: شناخت معیارهای مؤثر در آسیب‌پذیری شهر ارومیه در برابر زلزله؛ تعیین وزن و اهمیت نسبی هر یک از معیارهای مؤثر در آسیب‌پذیری؛ تعیین وضعیت مناطق مختلف شهر با توجه به هر معیار؛ تهیه نقشه پهنه‌بندی با استفاده از GIS و WASPAS.

۲. مواد و روش‌ها

۲.۱. منطقه مورد مطالعه

شهر ارومیه، مرکز شهرستان ارومیه و مرکز استان آذربایجان غربی است که در فاصله ۱۸ کیلومتری غرب دریاچه ارومیه، درون جلگه‌ای به طول ۷۰ کیلومتر و عرض ۳۰ کیلومتر قرار گرفته است. موقعیت جغرافیایی این شهر بین ۴۴ درجه و ۵ دقیقه تا ۴۵ درجه و ۲۴ دقیقه طول شرقی و ۳۷ درجه و ۱۵ دقیقه تا ۳۸ درجه و ۱۰ دقیقه عرض شمالی، در شمال غرب ایران می‌باشد (شکل ۱). شهرستان ارومیه تقریباً در مرکز فلاتی قرار دارد که پهنه‌ای به ارتفاع ۱۳۰۰ تا ۳۰۰۰ متر از سطح دریا و شامل دریاچه ارومیه است. این پهنه، منطقه‌ای کوهستانی است که به موازات حرکت از طرف غرب به طرف شرق، از ارتفاع آن کاسته می‌شود. در تشکیلات رسویی و درونی زمین در منطقه ارومیه گستنگی‌های زیادی وجود دارد، که گسترش آنها در نواحی کوهستانی غربی و پهنه میانی این منطقه زیاد است (نصیری، ۱۳۹۵).



شکل ۱- موقعیت شهرستان ارومیه (trsیم: نگارندگان)

۲.۲. روش تحقیق

پژوهش حاضر از نظر هدف، کاربردی و از نظر روش، توصیفی-تحلیلی است. چنانکه پیشتر اشاره شد، در این پژوهش، جهت رتبه‌بندی مناطق مختلف شهر ارومیه از نظر آسیب‌پذیری در برابر زلزله، از روش WASPAS و به منظور وزن‌دهی به معیارها از روش معروف AHP استفاده شده است. در انتها نتایج به دست آمده با نتایج روش جمع وزنی مقایسه شده‌اند که در ادامه به بیان این روش‌ها پرداخته شده است.

روش WASPAS توسط زاوادسکاس^۱ در سال ۲۰۱۲ پیشنهاد گردید (کارباش اویچ^۲، ۲۰۱۶). این روش، یکی از روش‌های نسبتاً جدید تصمیم‌گیری چند معیاره با دقت بسیار بالا است که در واقع ترکیبی از دو روش مدل جمع وزنی و مدل ضرب وزنی (WPS^۳) می‌باشد. میزان دقت روش WASPAS نسبت به هر یک از دو روش مذکور بیشتر است (زاوادسکاس، ۲۰۱۲).

مراحل محاسبات روش مذکور به شرح زیر است:

- = تشكیل ماتریس تصمیم‌گیری با توجه به وضع موجود معیارها و گزینه‌ها.
- = استانداردسازی و بمقیاس کردن ماتریس تصمیم‌گیری.
- = محاسبه وزن هر یک از معیارها با یکی از روش‌های وزن‌دهی نظری آنتروبی شانون، AHP و یا ANP^۴.
- = برآورد واریانس مقادیر معیارهای استاندارد شده.
- = محاسبه واریانس اهمیت نسبی گزینه‌ها و تعیین مقادیر بردار ویژه.
- = انجام رتبه‌بندی نهایی.

در روش WASPAS مانند سایر روش‌های تصمیم‌گیری چندمعیاره، حل مسئله با ایجاد ماتریس تصمیم‌گیری

شروع می‌شود:

$$X = \begin{bmatrix} x_{11} & \cdots & x_{1n} \\ \vdots & \ddots & \vdots \\ x_{m1} & \cdots & x_{mn} \end{bmatrix}$$

ماتریس تصمیم‌گیری

در ماتریس تصمیم‌گیری فوق، m نشان‌دهنده تعداد گزینه‌ها و n نشان‌دهنده تعداد معیارهای است. پس از تشكیل این ماتریس، معیارهای مثبت و منفی در آن به ترتیب با استفاده از روابط (۱) و (۲)، نرمال‌سازی می‌شوند. به این مرحله، بمقیاس‌سازی می‌گویند که دلیل ضرورت انجام آن، متفاوت بودن جنس و واحد معیارها می‌باشد.

$$\bar{x}_{ij} = \frac{x_{ij}}{\max_i x_{ij}} \quad \text{رابطه (۱)}$$

$$\bar{x}_{ij} = \frac{\min_i x_{ij}}{x_{ij}} \quad \text{رابطه (۲)}$$

که در این روابط \bar{x}_{ij} نرمال‌سازی شده x_{ij} و j به ترتیب اندکس گزینه‌ها و معیارها می‌باشند. در ادامه باید وزن معیارها با یکی از روش‌های وزن‌دهی به دست آیند (w_j). سپس مقادیر $Q_i^{(1)}$ و $Q_i^{(2)}$ که به ترتیب مربوط به جمع و ضرب وزنی می‌باشند، با استفاده از روابط (۳) و (۴) به دست می‌آیند.

$$Q_i^{(1)} = y_{ij} \text{sum} = \sum_{j=1}^n \bar{x}_{ij} w_j \quad i = 1, 2, \dots, m \quad j = 1, 2, \dots, n \quad \text{رابطه (۳)}$$

$$Q_i^{(2)} = y_{ij} \text{mult} = \prod_{j=1}^n (\bar{x}_{ij})^{w_j} \quad \text{رابطه (۴)}$$

1 Zavadskas

2 Karabašević

3 Weighted Product Model

4 Analytic Network Process

رابطه نهایی براساس فرمول زاوادسکاس (رابطه ۵) محاسبه می‌شود:

$$Q_i = 0.5Q_i^{(1)} + 0.5Q_i^{(2)} \quad \text{رابطه (۵)}$$

برای افزایش دقت در رتبه‌بندی و اثر بخشی فرایند تصمیم‌گیری در روش WASPAS از رابطه (۷) استفاده می‌گردد.

$$Q_i = \lambda Q_i^{(1)} + (1 - \lambda) Q_i^{(2)} = \lambda \sum_{j=1}^n \bar{x}_{ij} w_j + (1 - \lambda) \prod_{j=1}^n (\bar{x}_{ij})^{w_j} \quad \text{رابطه (۶)}$$

($\lambda = 0.0.1. \dots .1$).

$$Q_i^\lambda = \lambda i \sum_{j=1}^n y_{ijsum} + (1 - \lambda i) \prod_{j=1}^n y_{ijmult} \quad \text{رابطه (۷)}$$

$$\lambda i = \frac{\sigma^2(Q_i^{(2)})}{\sigma^2(Q_i^{(1)}) + \sigma^2(Q_i^{(2)})} \quad \text{رابطه (۸)}$$

$$\sigma^2(Q_i^{(2)}) = \sum_{j=1}^n \left(\frac{(\prod_{j=1}^n \bar{x}_{ij})^{w_j} w_j}{(\bar{x}_{ij})^{w_j} (\bar{x}_{ij})^{1-w_j}} \right)^2 \sigma^2(\bar{x}_{ij}) \quad \text{رابطه (۹)}$$

$$\sigma^2(Q_i^{(1)}) = \sum_{j=1}^n w_j^2 \sigma^2(\bar{x}_{ij}) \quad \text{رابطه (۱۰)}$$

$$\sigma^2(\bar{x}_{ij}) = (0.05 \bar{x}_{ij})^2 \quad \text{رابطه (۱۱)}$$

در نهایت، گزینه‌ها می‌توانند بر مبنای ارزش Q رتبه‌بندی شوند. مقدار بهینه λ براساس معادلات بالا به دست می‌آید. مقدار λ سهم معادله جمع وزنی و معادله ضرب وزنی در معادله نهایی را مشخص می‌کند (بیزدانی^۱ و همکاران، ۲۰۱۶).

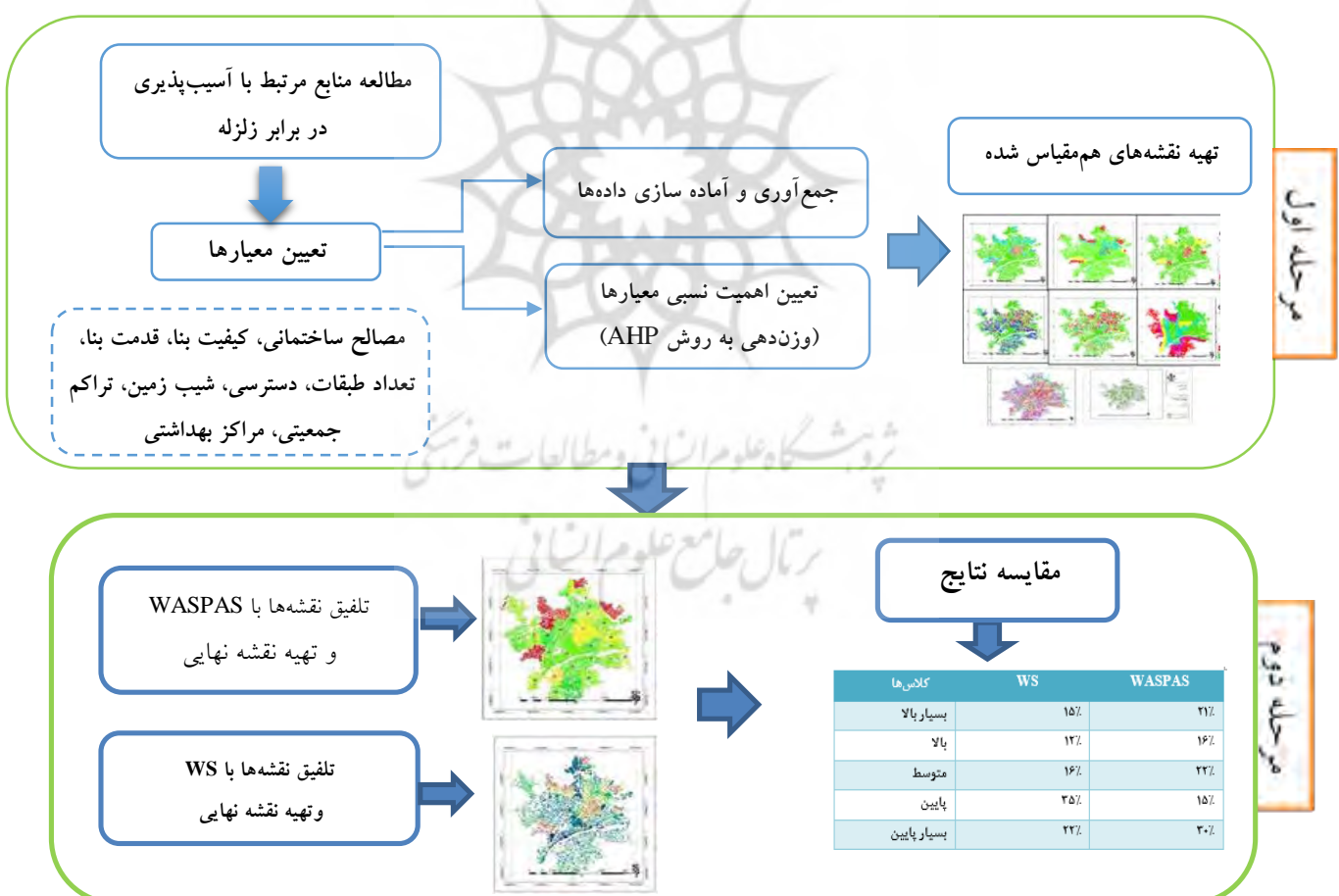
چنانکه ذکر شد، در این پژوهش، از روش معروف و متداول AHP جهت وزن‌دهی به معیارها استفاده شد. در این روش، مقایسه زوجی بین معیارها انجام می‌شود که برای این منظور، پرسشنامه‌های مناسبی تهیه و بین ۱۵ نفر از کارشناسان و مهندسان این حوزه در شهرداری، اداره راه و شهرسازی، بنیاد مسکن و مدیریت بحران شهر ارومیه توزیع گردید. بعد از تحلیل پرسشنامه‌ها و به دست آوردن مقادیر مقایسه‌های زوجی بین معیارها، وزن معیارها با روش بردار ویژه محاسبه شدند.

برای بررسی بیشتر، نتایج حاصل با نتایج روش جمع وزنی (WS^۲) مقایسه شدند. این روش که متداول‌ترین رویکرد تصمیم‌گیری چندشاخه می‌باشد، نخستین بار توسط پژوهشگران و برنامه‌ریزان اقتصادی در سال ۱۹۵۷ برای انتخاب سیاست‌های سرمایه‌گذاری در بخش تجارت استفاده شد. در روش مذکور، با در نظر گرفتن وزن شاخص‌ها و مقادیر هر یک از گزینه‌ها به ازای هر شاخص، مجموع وزن‌دار برای هر گزینه محاسبه می‌شود و گزینه‌ای که بیشترین مقدار را به خود اختصاص دهد، به عنوان بهترین گزینه در نظر گرفته می‌شود (شکور، ۱۳۹۴). مراحل انجام پژوهش به صورت شماتیک در شکل ۲ نشان داده شده است.

¹ Yazdani
² Weighted Sum

۲.۳. عوامل مؤثر و لایه‌های اطلاعاتی مربوط

در این پژوهش، پس از بررسی شرایط منطقه و داده‌های موجود، هشت معیار شامل نوع مصالح ساختمانی، کیفیت بناها، قدمت بناها، تعداد طبقات، تراکم جمعیتی، شبیب زمین، دسترسی به معابر و نزدیکی به مراکز بهداشتی درمانی، به عنوان عوامل مؤثر در نظر گرفته شدند. جهت بررسی این عوامل در مدل تصمیم‌گیری، ابتدا لایه‌های اطلاعاتی مربوط شامل نقشه معابر، توبوگرافی، موقعیت مراکز بهداشتی و همچنین نقشه بلوک شهری با مقیاس ۱:۲۵۰۰۰ شهر ارومیه، تهیه شدند. این نقشه‌ها از شهرداری و اداره راه و شهرسازی اخذ شده بودند. سپس تمامی آنها با در نظر گرفتن بیضوی WGS 1984 و سیستم تصویر UTM زون ۳۸ شمالی آماده‌سازی شدند. در ادامه، اطلاعات توصیفی مربوط به مصالح ساختمانی، کیفیت بناها، قدمت بناها، تراکم جمعیتی و تعداد طبقات به لایه بلوک شهری اضافه شدند که این اطلاعات از طرح‌های تفصیلی، طرح جامع، طرح ساماندهی ویژه بافت‌های فرسوده شهر ارومیه و اطلاعات سرشماری‌های عمومی نفوس و مسکن سال ۱۳۹۵ به دست آمده بودند.



شکل ۲- مراحل انجام تحقیق (ترسیم: نگارندگان)

۳. نتایج پژوهش و بحث

پس از مقایسه زوجی هشت معیار مورد بررسی در آسیب‌پذیری لرزاک شهر ارومیه (جدول ۱)، وزن نسبی هر معیار با روش AHP به دست آمد که نتایج آنها در جدول ۲ ارائه شده است. با توجه به محاسبات انجام شده، نرخ ناسازگاری $9/0\%$ می‌باشد که کمتر $1/0\%$ و در نتیجه قابل قبول است.

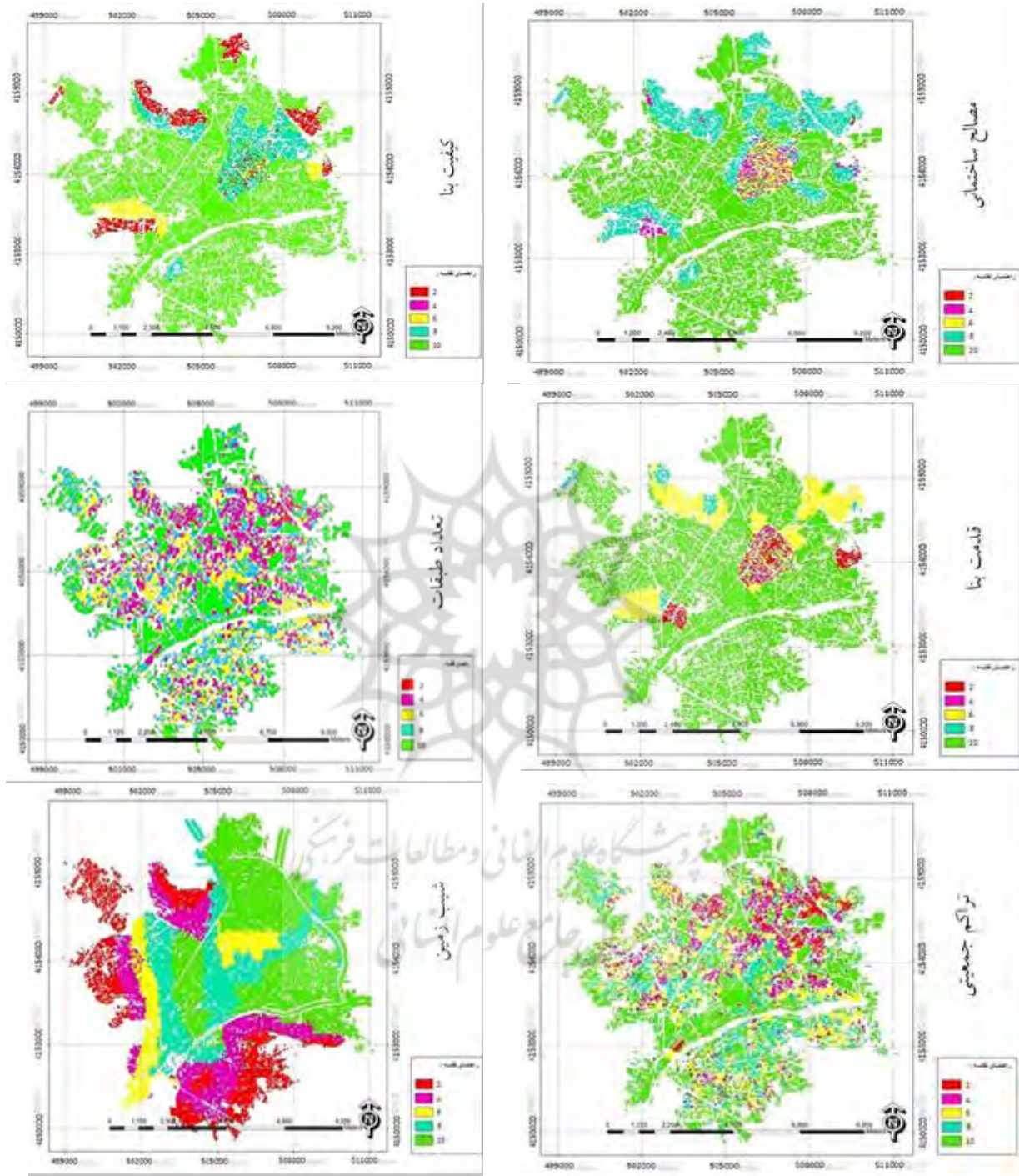
جدول ۱ - مقایسه زوجی معیارها (نگارندگان)

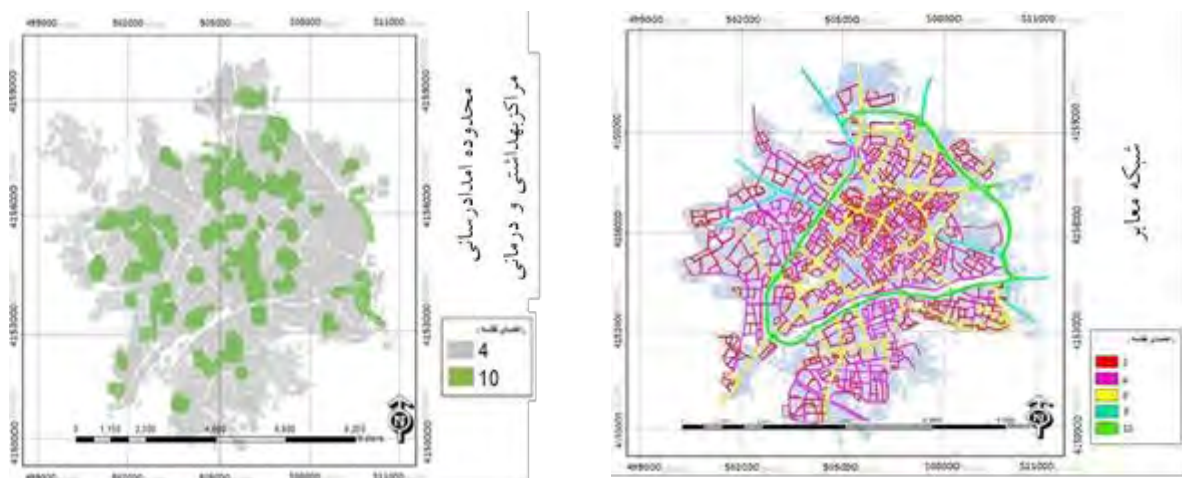
	مصالح ساختمانی	کیفیت بناها	قدمت بناها	دسترسی	شبیب زمین	مراکز بهداشتی	تراکم جمعیتی	تعداد طبقات
مصالح ساختمانی	۱	۲	۳	۵	۷	۵	۸	۶
کیفیت بناها	۱/۲	۱	۳	۶	۷	۶	۵	۷
قدمت بناها	۱/۳	۱/۳	۱	۵	۶	۴	۶	۷
دسترسی	۱/۵	۱/۶	۱/۵	۱	۴	۲	۴	۵
شبیب زمین	۱/۷	۱/۷	۱/۶	۱/۴	۱	۳	۴	۱
مراکز بهداشتی	۱/۵	۱/۶	۱/۴	۱/۲	۱/۳	۱	۳	۵
تراکم جمعیتی	۱/۸	۱/۵	۱/۶	۱/۴	۱/۴	۱/۳	۱	۳
تعداد طبقات	۱/۶	۱/۷	۱/۷	۱/۵	۱	۱/۵	۱/۳	۱

جدول ۲ - وزن معیارهای آسیب‌پذیری شهری ارومیه با استفاده از روش تحلیل سلسله مرتبی (AHP) (نگارندگان)

نوع مصالح ساختمانی	تراکم جمعیتی	تعداد طبقات	قدمت بناها	کیفیت بناها	دسترسی به معابر	مراکز بهداشتی درمانی	وزن
۰/۲۳۴	۰/۰۴۴	۰/۰۲۲	۰/۱۸۷	۰/۳۴۲	۰/۰۸۳	۰/۰۶۴	

برای هریک از هشت معیار، یک نقشه فاکتور تهیه شده است که مقدادیر موجود در آنها، با توجه به نوع معیارها، در بازه عددی ۱ تا ۱۰ قرار گرفته و هم مقیاس شده‌اند. بدترین وضعیت نشان‌دهنده عدد ۱ و بهترین وضعیت نشان‌دهنده عدد ۱۰ است (شکل ۳). برای تشکیل ماتریس تصمیم (گزینه‌ها و معیارها) در مدل WASPAS لازم است گزینه‌ها مشخص شوند. برای این منظور، براساس نقشه محلات شهر ارومیه، کل منطقه به ۳۹ پهنه تقسیم و هریک از آنها به عنوان یک گزینه در نظر گرفته شد. سپس مقدار هر معیار برای هر یک از این گزینه‌ها مشخص گردید. در ادامه، با استفاده از روابط ذکر شده برای مدل، محاسبات لازم در محیط نرم‌افزار متلب^۱ انجام گردید که نتایج آن در جدول ۳ ارائه شده است.





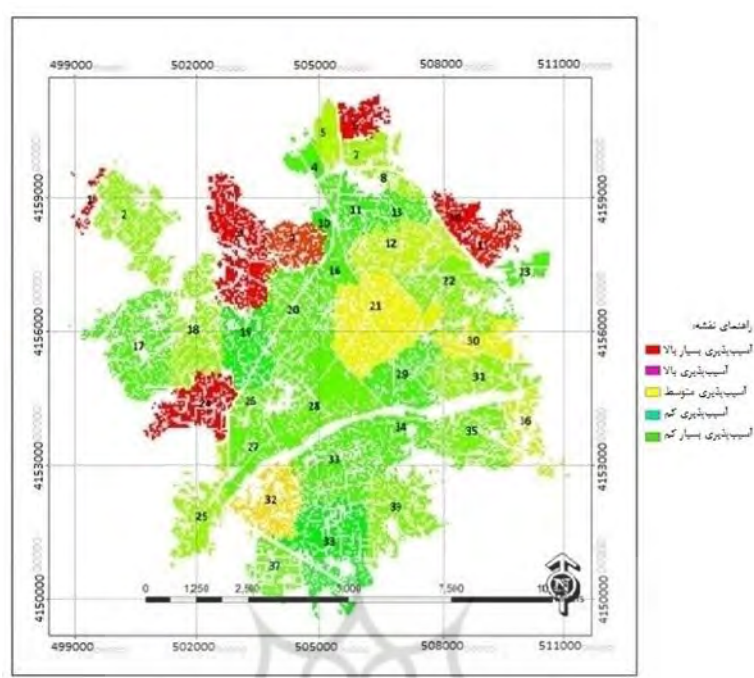
شکل ۳- نقشه های هم مقیاس شده مربوط به معیارها (ترسیم: نگارندگان)

جدول ۳- نتایج محاسبات بر اساس مدل WASPAS برای مناطق آسیب‌پذیر (نگارندگان)

Score	λ	Q ₂	Q ₁	WPM	WSM	گزینه ها
۰/۲۶۴	۰/۲۴۲	۳/۱۸e-۰۵	۰/۰۰۰۴۴۵	۰/۲۴۰۱۴۹	۰/۳۴۱۳۵	گزینه ۱
۰/۵۸۱	۰/۲۷۰	۰/۰۰۰۱۶۱	۰/۰۰۰۴۳۹	۰/۵۴۱۰۴۹	۰/۷۸۹۸	گزینه ۲
۰/۳۳۰	۰/۳۰۸	۴/۱۸۴e-۰۵	۰/۰۰۰۴۳۶	۰/۲۹۶۰۶۱	۰/۴۰۷	گزینه ۳
۰/۶۱۱	۰/۳۰۱	۰/۰۰۰۱۹۲	۰/۰۰۰۴۴۷	۰/۵۹۰۵۰۴	۰/۷۲۶۰۶۷	گزینه ۴
۰/۰۰۹	۰/۲۵۵	۰/۰۰۰۱۴۹	۰/۰۰۰۴۴۱	۰/۵۲۰۳۳۱	۰/۷۱۶	گزینه ۵
۰/۲۵۱	۰/۲۳۰	۲/۹e-۰۵	۰/۰۰۰۱۹۳	۰/۲۲۹۲۱۳	۰/۳۲۷۷۵۶	گزینه ۶
۰/۵۶۹	۰/۲۶۲	۰/۰۰۰۱۰۵	۰/۰۰۰۲۵۵	۰/۵۲۹۶۹۸	۰/۷۸۲۶	گزینه ۷
۰/۵۷۱	۰/۲۶۲	۰/۰۰۰۱۰۶	۰/۰۰۰۴۴۶	۰/۵۳۰۹۲۷	۰/۷۸۴۸	گزینه ۸
۰/۳۶۳	۰/۲۲۳	۵/۶۶e-۰۵	۰/۰۰۰۱۰۵	۰/۳۲۰۱۸۵	۰/۴۵۵۵۳۳	گزینه ۹
۰/۶۵۲	۰/۳۱۰	۰/۰۰۰۲۰۴	۰/۰۰۰۴۳۵	۰/۶۰۸۳۴۱	۰/۷۵۱۴۶۷	گزینه ۱۰
۰/۶۴۴	۰/۳۳	۰/۰۰۰۲۰۳	۰/۰۰۰۲۳۷	۰/۶۰۷۰۰۳	۰/۷۱۹	گزینه ۱۱
۰/۵۴۴	۰/۳۶۴	۰/۰۰۰۱۴۳	۰/۰۰۰۴۴۱	۰/۵۰۹۷۵۴	۰/۶۰۴۲	گزینه ۱۲
۰/۶۳۵	۰/۳۰۵	۰/۰۰۰۱۹۵	۰/۰۰۰۴۴۱	۰/۵۹۳۹۲۵	۰/۷۳۱	گزینه ۱۳
۰/۳۱۶	۰/۲۷۸	۴/۵۱e-۰۵	۰/۰۰۰۴۴۲	۰/۲۸۶۰۶۱	۰/۳۹۶۹۷۷	گزینه ۱۴
۰/۳۵۱	۰/۳۰۵	۵/۲۵e-۰۵	۰/۰۰۰۲۲۴	۰/۳۰۸۱۷	۰/۴۴۹۱۳۳	گزینه ۱۵
۰/۶۳۰	۰/۳۰۰	۰/۰۰۰۱۹۱	۰/۰۰۰۴۳۶	۰/۵۸۹۰۱۳	۰/۷۲۵۸	گزینه ۱۶
۰/۶۳۰	۰/۳۰۵	۰/۰۰۰۱۹۳	۰/۰۰۰۲۳۸	۰/۵۹۱۴۰۹	۰/۷۱۸۶	گزینه ۱۷
۰/۵۸۲	۰/۲۷۱	۰/۰۰۰۱۶۳	۰/۰۰۰۴۴۱	۰/۵۴۳۱۹۳	۰/۷۸۹۰۲۹	گزینه ۱۸
۰/۶۵۶	۰/۳۱۸	۰/۰۰۰۲۰۹	۰/۰۰۰۴۴۱	۰/۶۱۵۳۴۹	۰/۷۴۵۶۱	گزینه ۱۹
۰/۶۲۳	۰/۲۹۸	۰/۰۰۰۱۸۸	۰/۰۰۰۴۳۷	۰/۵۸۳۰۸۸	۰/۷۱۸۲۷	گزینه ۲۰

گزینه‌ها	WSM	WPM	Q ₁	Q ₂	λ	Score
۲۱ گزینه	۰/۵۲۶۲۷۱	۰/۴۹۰۵۳۷	۰/۰۰۰۴۳۵	۰/۰۰۰۱۳۵	۰/۴۱۲	۰/۵۰۸
۲۲ گزینه	۰/۶۳۷۶۶۷	۰/۵۵۹۸۳۵	۰/۰۰۰۴۳۸	۰/۰۰۰۱۷۳	۰/۴۰۳	۰/۵۹۱
۲۳ گزینه	۰/۷۲۸	۰/۵۹۱۰۱۴	۰/۰۰۰۴۴۳	۰/۰۰۰۱۹۳	۰/۳۰۱	۰/۶۳۲
۲۴ گزینه	۰/۳۷۸۹۵	۰/۲۶۰۲۰۹	۰/۰۰۰۴۳۷	۳/۷۴۰-۰۵	۰/۲۶۲	۰/۲۸۸
۲۵ گزینه	۰/۷۸۱۴۲۹	۰/۵۲۲۸۶۹	۰/۰۰۰۴۴۵	۰/۰۰۰۱۵۷	۰/۲۶۴	۰/۵۷۲
۲۶ گزینه	۰/۶۴۶۱۳۳	۰/۵۸۶۹۳۶	۰/۰۰۰۴۳۹	۰/۰۰۰۱۹	۰/۴۴۵	۰/۶۱۳
۲۷ گزینه	۰/۷۱۶۰۶۷	۰/۵۸۱۷۳۸	۰/۰۰۰۴۳۶	۰/۰۰۰۱۸۷	۰/۲۹۷	۰/۶۲۱
۲۸ گزینه	۰/۷۰۹۴۶۷	۰/۵۷۶۵۷۲	۰/۰۰۰۴۴۷	۰/۰۰۰۱۸۳	۰/۲۹۳	۰/۶۱۵
۲۹ گزینه	۰/۷۲۶۵۳۳	۰/۶۰۰۹۴۴	۰/۰۰۰۴۴۱	۰/۰۰۰۱۹۹	۰/۳۱۰	۰/۶۳۹
۳۰ گزینه	۰/۵۶۹۲	۰/۴۸۷۷۷	۰/۰۰۰۱۹۳	۰/۰۰۰۱۳۱	۰/۳۶۹	۰/۵۱۷
۳۱ گزینه	۰/۶۸۴۵۳۳	۰/۵۴۲۴۴۱	۰/۰۰۰۲۵۵	۰/۰۰۰۱۶۲	۰/۲۷۱	۰/۵۱۸
۳۲ گزینه	۰/۵۳۷۸	۰/۴۵۳۵۰۳	۰/۰۰۰۴۴۶	۰/۰۰۰۱۱۳	۰/۳۲۳	۰/۶۸۰
۳۳ گزینه	۰/۷۲۰۴	۰/۵۹۱۳۷۲	۰/۰۰۰۱۰۵	۰/۰۰۰۱۹۳	۰/۳۰۴	۰/۶۳۰
۳۴ گزینه	۰/۷۱۷	۰/۵۹۵۱۸۹	۰/۰۰۰۴۳۵	۰/۰۰۰۱۹۵	۰/۳۰۷	۰/۶۳۲
۳۵ گزینه	۰/۷۰۳۲۷۶	۰/۵۶۶۵۹۶	۰/۰۰۰۲۳۷	۰/۰۰۰۱۷۷	۰/۲۸۸	۰/۶۰۵
۳۶ گزینه	۰/۶۶۵	۰/۵۰۴۷۰۲	۰/۰۰۰۴۴۱	۰/۰۰۰۱۴۱	۰/۲۴۴	۰/۵۴۳
۳۷ گزینه	۰/۷۱۰۵۳۳	۰/۵۷۹۹۰۱	۰/۰۰۰۴۴۱	۰/۰۰۰۱۸۴	۰/۲۹۵	۰/۶۱۶
۳۸ گزینه	۰/۷۳۶۲۶۷	۰/۶۲۱۸۵۴	۰/۰۰۰۴۴۲	۰/۰۰۰۲۱۳	۰/۳۲۴	۰/۶۰۹
۳۹ گزینه	۰/۶۹۷۶	۰/۵۵۴۸۲۲	۰/۰۰۰۲۲۴	۰/۰۰۰۱۷	۰/۲۸۰	۰/۵۹۴

پس از تعیین میزان خطر در هر پهنه با استفاده از مدل WASPAS، نقشه پهنه‌بندی آسیب‌پذیری شهر ارومیه در برابر زلزله تهیه و به پنج کلاس آسیب‌پذیری بسیار بالا، آسیب‌پذیری بالا، آسیب‌پذیری متوسط، آسیب‌پذیری پایین و آسیب‌پذیری بسیار پایین تقسیم گردید (شکل ۴). بر اساس نقشه به دست آمده با مدل WASPAS، ۲۱ درصد از مساحت شهر ارومیه در محدوده آسیب‌پذیری بسیار بالا در برابر زلزله قرار دارند. مساحت محدوده‌ها با آسیب‌پذیری بالا، متوسط، پایین و بسیار پایین، به ترتیب برابر ۱۶، ۲۲، ۱۶ و ۲۶ درصد می‌باشد. اسماء مناطقی که در معرض آسیب جدی قرار دارند، به ترتیب شماره پهنه، در جدول ۴ ارائه شده‌اند.



شکل ۴- نقشه پهنه‌بندی مناطق آسیب‌پذیر با استفاده از روش WASPAS (ترسمیم: نگارندگان)

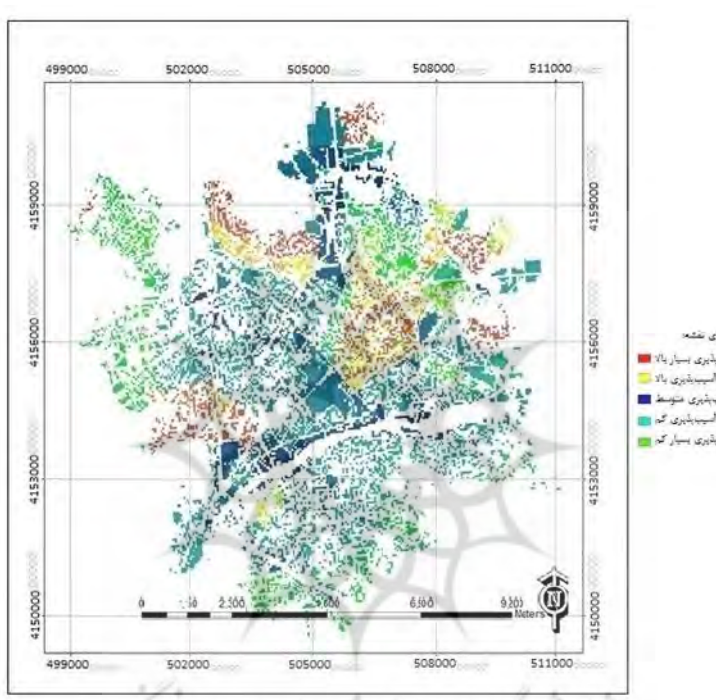
جدول ۴- مناطق در معرض آسیب جدی شهر ارومیه در برابر زلزله(نگارندگان)

شماره پهنه	نام محل	عامل (های) اصلی خطر	مساحت پهنه (کیلومترمربع)
۱	استاد شهریار	کیفیت بنا، شیب زمین	۰/۶۵
۳	اسلام آباد ۱	کیفیت بنا، شیب زمین	۴/۱۹
۶	محاله‌ده بزرگراه شهردآ	کیفیت بنا	۲/۷۵
۹	کشتارگاه	کیفیت بنا، شیب زمین	۱/۶۴
۱۴	وکیل آباد	قدمت بنا	۰/۷۲
۱۵	اسلام آباد ۲	کیفیت بنا، قدمت بنا	۰/۹۵
۲۴	طرزیلو	کیفیت بنا، قدمت بنا	۱/۹۶

نتایج حاکی از آن است که از بین ۳۹ پهنه شهری، ۷ پهنه شهری در ارومیه در معرض خطرپذیری بسیار بالا در هنگام بروز زلزله هستند و معیارهای کیفیت بناها، نوع مصالح ساختمانی و قدمت بناها در مقایسه با سایر عوامل نقش بیشتری در میزان حساسیت پهنه‌ها داشته‌اند.

چنانکه پیشتر اشاره شد، جهت مقایسه، نقشه پهنه‌بندی آسیب‌پذیری با روش جمع وزنی نیز تهیه شد. در این روش هم از همان نقشه‌های هم مقیاس شده قبلی و وزن‌های به دست آمده از روش AHP استفاده شد. در این مرحله

نیز نقشه نهایی به پنج کلاس تقسیم شد که طبق آن مناطق با آسیب‌پذیری بسیار بالا حدود ۱۵ درصد و مساحت محدوده‌ها با آسیب‌پذیری بالا، متوسط، پایین و بسیار پایین، به ترتیب برابر ۱۲، ۱۶، ۳۵ و ۲۲ درصد می‌باشند (شکل ۵). بررسی نقشه‌های پهنه‌بندی دو روش نشان می‌دهد که در اکثر مناطق دو روش نتایج مشابهی دارند. با اینحال برخی از محلات مانند بزرگراه شهدا که مربوط به پهنه شماره ۶ می‌باشد، در مدل WASPAS در طبقه آسیب‌پذیری بسیار بالا قرار گرفته در حالیکه در مدل WS به طبقه آسیب‌پذیری بالا تعلق دارد.



شکل ۵- نقشه پهنه‌بندی مناطق آسیب‌پذیر با استفاده از روش WS (ترسیم: نگارندگان)

۴. نتیجه‌گیری

بررسی وضعیت محیط نسبت به وقوع بحران‌های احتمالی و انجام برنامه‌ریزی اصولی پیش از وقوع بحران، می‌تواند نقش مهمی در مدیریت صحیح در هنگام وقوع بحران‌ها داشته باشد. زلزله از جمله سوانحی است که به سبب شرایط خاص جغرافیایی، کشور ما را دائمًا مورد تهدید قرار می‌دهد. اغلب مناطق کشورمان در معرض خطر زلزله قرار دارند؛ لکن در داخل شهرها به دلیل بالاتر بودن تراکم جمعیتی، میزان آسیب‌پذیری و در نتیجه اثرات فاجعه بر شهروندان، در صورت وقوع زلزله، نیز بیشتر است. از این رو شناخت و تعیین میزان آسیب‌پذیری بافت‌های شهری در برابر زلزله از اهمیت ویژه‌ای برخوردار می‌باشد.

در این پژوهش به تهیه نقشه حساسیت مناطق مختلف شهر ارومیه در برابر وقوع زلزله و تعیین میزان آسیب‌پذیری هر یک از محلات در برابر زلزله، جهت کاهش خسارات ناشی از این پدیده پرداخته شد. چنین اطلاعاتی می‌تواند هم در خصوص برنامه‌ریزی برای مقاوم‌سازی و هم در مدیریت بحران و اسکان اضطراری در صورت وقوع حادثه مفید واقع شود. به منظور تهیه نقشه پهنه‌بندی، اهمیت نسبی معیارهای مورد بررسی که شامل مصالح ساختمانی، کیفیت بنها، قدمت بنها، دسترسی به معابر، شب زمین، تراکم جمعیتی، تعداد طبقات و نزدیکی به مراکز بهداشتی درمانی می‌باشد، با استفاده از روش پرکاربرد AHP شدند و در نهایت نقشه‌های پهنه‌بندی با استفاده از دو مدل WASPAS و WS ایجاد گردیدند و مورد مقایسه قرار گرفتند. طبق نتایج پژوهش صورت گرفته، کیفیت بنها و مصالح ساختمانی در مقایسه با سایر معیارها نقش مهم‌تری در میزان آسیب‌پذیری محلات مختلف شهر ارومیه داشته‌اند.

پس از تهیه نقشه‌های نهایی، کل منطقه مورد مطالعه بر اساس میزان حساسیت به پنج طبقه آسیب‌پذیری بسیار بالا، آسیب‌پذیری بالا، آسیب‌پذیری متوسط، آسیب‌پذیری پایین و آسیب‌پذیری بسیار پایین تقسیم گردید. بررسی نتایج مدل WASPAS نشان که حدود ۲۱ درصد از کل منطقه در طبقه مربوط به آسیب‌پذیری بسیار بالا قرار گرفته‌اند. در حالیکه طبق نتایج مدل WS، طبقه مربوط به آسیب‌پذیری بسیار بالا، حدود ۱۵ درصد از کل منطقه را پوشش می‌دهد. بعارتی مدل WASPAS محدوده بیشتری را برای این طبقه نسبت به مدل WS شناسایی کرده است. با مشخص شدن مناطقی که میزان آسیب‌پذیری کمتری در هر دو روش داشته‌اند، می‌توان برنامه‌ریزی‌های مناسبی پیامون مدیریت بحران انجام داد. به عنوان نمونه می‌توان برای پایگاه‌های چند منظوره مدیریت بحران، مراکز اسکان وقت و یا مراکز امدادرسان، مکان‌یابی نمود.

کتابنامه

- ابراهیم زاده، عیسی؛ کاشفی، دیمن؛ ۱۳۹۴. ارزیابی آسیب‌پذیری محله‌های شهری در برابر زلزله (نمونه موردی: شهر پیرانشهر. نشریه برنامه‌ریزی فضایی. دوره ۵. شماره ۱. ۲۵-۱).
- احدزاد، محسن؛ زلفی، علی؛ نوروزی، محمدجواد؛ جلیلی، کریم؛ ۱۳۹۰. ارزیابی آسیب‌پذیری اجتماعی شهرها در برابر زلزله نمونه موردی (شهر خرمدره). *فصلنامه جغرافیایی چشم انداز زاگرس*. دوره ۳. شماره ۷. ۹۸-۸۱.
- پورموسوی، سید موسی؛ شماعی، علی؛ احمدزاد، محسن؛ ۱۳۹۳. ارزیابی آسیب‌پذیری ساختمانهای شهر با مدل فازی GIS و AHP مطالعه موردی منطقه ۳ شهرداری تهران. *فصلنامه علمی و پژوهشی جغرافیا و توسعه*. شماره ۳۴. ۱۱۷-۱۳۲.

- حاتمی نژاد، حسین؛ بذرافکن شهرام؛ ابراهیمی، محمد؛ ۱۳۹۳. تحلیل میزان آسیب‌پذیری مسکن شهری در موقع برخورد مخاطرات محیطی (زلزله) با استفاده تکنیک‌های تلفیقی MCDM و GIS مطالعه موردنی: منطقه ۶ شهر تهران. نشریه جغرافیا و محیط پایدار. دوره ۴. شماره ۱۳. ۱-۱۱.
- حبیبی، کیومرث؛ جوانمردی، کومار؛ ۱۳۹۲. تحلیل ناپایداری بافت‌های شهری و پهنه بندی میزان آسیب‌پذیری در برابر زلزله با استفاده از AHP و GIS، نمونه موردنی: بخشی از هسته مرکزی شهر سنتندج. آرمانشهر. دوره ۶. شماره ۱۱. ۲۹۳-۳۰۵.
- حسینی خواه، حسین؛ ضرابی، اصغر. ۱۳۹۸. شناسایی پهنه‌های لرزه خیز شهر لیکک مرکز شهرستان بهمنی در استان کهگیلویه و بویراحمد. نشریه تحلیل فضایی مخاطرات محیطی. تابستان ۱۳۹۸ شماره ۲. ۱۴۷-۱۶۴.
- شکور، علی؛ ۱۳۹۴. مطالعه تطبیقی روش‌های چند شاخصه جهت اولویت بندی استقرار مراکز ICT مطالعه موردنی بخش فورگ شهرستان داراب. مجله پژوهش و برنامه ریزی روستایی. سال ۴ و شماره ۴. ۲۱۱-۲۲۴.
- علوی، سید علی؛ حسینی، سید مصطفی؛ بهرامی، فربیا؛ عاشورلو، مهراب؛ ۱۳۹۵. ارزیابی میزان آسیب‌پذیری بافت‌های شهری با استفاده از ANP و GIS (مطالعه موردنی: شهر سمیرم). اطلاعات جغرافیایی. دوره ۲۵. شماره ۱۰۰. ۱۲۹-۱۴۶.
- طبییان، منوچهر؛ مظفری، نگین؛ ۱۳۹۷. ارزیابی آسیب‌پذیری بافت‌های مسکونی در برابر زلزله و راهکارهای کاهش آسیب‌پذیری مطالعه موردنی: منطقه شش شهرداری تهران. مطالعات شهری. ۲۷. ۹۳-۱۱۲.
- فرجی، امین؛ آروین، محمود؛ آتش افروز، نسرین؛ ۱۳۹۷. بررسی تابآوری منطقه‌ای، شهرستان‌های استان خوزستان با استفاده از تکنیک آنتروپی شanon. نشریه آمایش سرزمین تابستان ۱۳۹۷ دوره ۱۰ شماره ۱. ۱-۲۹.
- فللاح علی آبادی، سعید؛ گیوه چی، سعید؛ اسکندری، محمد؛ سرسنگی، علیرضا؛ ۱۳۹۲. ارزیابی آسیب‌پذیری بافت تاریخی شهرها در برابر زلزله با استفاده از روش تحلیل سلسله مراتبی و سیستم اطلاعات جغرافیایی. مدیریت بحران. ۱(۲). ۵-۱۳.
- فالاحی، فرهاد؛ چاره جو، فرزین؛ ۱۳۹۸. ارزیابی و پهنه‌بندی آسیب‌پذیری لرزه‌ای بافت فرسوده مرکزی شهر سنتندج با ملاحظات پدافتند غیرعامل. با استفاده از مدل IHWP و GIS. مطالعات ساختار و کارکرد شهری. دوره ۶. شماره ۲۱. ۸۵-۱۰۹.
- قنبیری، ابوالفضل؛ زلفی، علی؛ ۱۳۹۳. ارزیابی آسیب‌پذیری شهری در برابر زلزله با تأکید بر مدیریت بحران در شهر کاشمر. نشریه تحلیل فضایی مخاطرات فضایی. سال اول. شماره چهارم. ۵۹-۷۴.
- مرکز تحقیقات ساختمان و مسکن (۱۳۷۸). آینین‌نامه طراحی ساختمان‌ها در برابر زلزله (استاندارد ۲۸۰۰).
- ملکی، سعید؛ مودت، الیاس؛ فیروزی، محمدعلی؛ ۱۳۹۳. ارزیابی و رتبه بندی آسیب‌پذیری اجتماعی شهرها در برابر زلزله با مدل TOPSIS و GIS (نمونه موردنی شهر یزد). برنامه‌ریزی و آمایش فضا. دوره ۱۸. شماره ۳ (پیاپی ۸۵). ۹۹-۱۲۴.

نصیری، علی؛ ۱۳۹۵. ارزیابی آسیب پذیری شهر ارومیه در برابر زلزله با استفاده از روش AHP پارامترهای در محیط GIS. نشریه تحقیقات کاربردی علوم جغرافیایی. سال شانزدهم. شماره ۴۰. ۹۰-۱۱۳.

نظم فر، حسین؛ علوی، سعیده؛ ۱۳۹۷. ارزیابی آسیب پذیری ساختمان‌های شهری در برابر شدت‌های مختلف زلزله مطالعه موردی: منطقه ۹ شهرداری تهران. سپهر. دوره ۲۷. شماره ۱۰۸. ۱۶۵-۱۸۱.

هاشمی، مهدی؛ آل شیخ، علی اصغر؛ ملک، محمد رضا؛ ۱۳۹۳. پنهانی بندی آسیب پذیری زلزله به کمک GIS مطالعه موردی شهر تهران. علوم و تکنولوژی محیط زیست. دوره ۱۶. ۳۰۵-۳۱۳.

- Al-Dogom D, Schuckma K, Al-Ruzouq R. 2018. Geostatistical Seismic Analysis and Analysis Hazard Assessment, UNITED ARAB EMIRATES. International Archives of the Photogrammetry, Remote Sensing and Spatial Information Sciences XLII-3W4: 29–36.
- Alizadeh M, Ngah I, Hashim M, Pradhan B, Pour AB. 2018. A Hybrid Analytic Network Process and Artificial Neural Network (ANP-ANN) Model for Urban Earthquake Vulnerability Assessment. *Remote Sensing* 10: 975.
- Barbat A H, Carreño ML, Pujades LG, Lantada N, Cardona OD, Marulanda MC. 2010. Seismic vulnerability and risk evaluation methods for urban areas. A review with application to a pilot area, *Structure and Infrastructure Engineering* 6:1-2: 17-38.
- Erden T, Karaman H. 2012. Analysis of earthquake parameters to generate hazard maps by integrating AHP and GIS for Kucuk, ekmece region, *Natural Hazards and Earth System Sciences* 12: 475–483.
- Jena R, Pradhan B, Beydoun G. 2020. Earthquake vulnerability assessment northera sumatra province by using a multi-criteria decision-making model, *International Journal of Disaster Risk Reduction* (46): 1-28.
- Karimzadeh S, Miyajima M, Hassanzadeh R, Amiraslanzadeh R, Kamel B. 2014. A GIS-based seismic hazard, building vulnerability and human loss assessment for the earthquake scenario in Tabriz. *Soil Dynamics and Earthquake Engineering* 66: 263-280.
- Moradi M, Delavar MR, Moshiri BA. 2017. GIS-based multi-criteria analysis model for earthquake vulnerability assessment using Choquet integral and game theory. *Natural Hazards* 87: 1377–1398.
- Ningthoujam MC, Nanda R P. 2018. A GIS System Integrated with Earthquake Vulnerability Assessment of RC Building. *Structures* 15: 329-340.
- Nyimbili PH, Erden T, Karaman H. 2018. Integration of GIS, AHP and TOPSIS for earthquake hazard analysis. *Natural Hazards* 92: 1523–1546.
- Yariyan P, Avand M, Soltani F, Ghorbanzadeh O, Blaschke T. 2020. Earthquake Vulnerability Mapping Using Different Hybrid Models, *Symmetry* 12(405): 1-31.
- Yazdani M, Zavadskas E, Ignatius J, Doval Abad M. 2016. Sensitivity Analysis in MADM Methods: Application of Material, *Inzinerine Ekonomika-Engineering Economics* 27(4): 382–391.

Zavadskas E, K, Turskis Z, Antucheviene J, Zakareviciu A. 2012. Optimization of Weighted Aggregated Sum Product Assessment, Electronical Engineering Electtronika IR Electrotechnica 122(6): 1392-1215.

